

穴あきレンズ空間の  $R^4$  への埋藏について

神戸大理 細川 藤次 (Fujitsugu Hosokawa)

神戸大理 鈴木 晋一 (Shinichi Suzuki)

3次元多様体であるレンズ空間が4次元ユークリッド空間  $R^4$  に埋藏できないことはすでに良く知られている。[3], [6] また、穴あきレンズ空間  $L(2n, q)_0$  は  $R^4$  に埋藏できないが [1], 穴あきレンズ空間  $L(2n+1, q)_0$  は  $R^4$  に埋藏することができることもすでに知られている [9]。ここで、穴あきレンズ空間  $L(p, q)_0$  は、レンズ空間  $L(p, q)$  から1点の近傍を除いたものである。

$V$  を solid torus とし、 $k$  を  $\partial V$  上の  $(p, q)$  型結び目とする。すなわち、 $p, q$  は整数で、 $m$  を  $\partial V$  上の meridian,  $l$  を longitude とすると、 $k$  は  $\partial V$  上で  $pl + qm$  にホモロークな単純閉曲線である。 $k$  を attaching 1-sphere とする  $V$  の 2-handle を  $h^2(p, q)$  とすると、穴あきレンズ空間  $L(p, q)_0$  は Heegaard 分解  $V \cup h^2(p, q)$  で表される。[7]

また、 $L(p, q)_0$  と  $L(p', q')_0$  とが同相になるのは、 $p=p'$  で

$$q \equiv \pm q' \pmod{p} \text{ または } qq' \equiv \pm 1 \pmod{p}$$

が成立する  $\Leftrightarrow$  であることも良く知られている。

この論文では、 $R^4$  に埋藏された穴あき  $V$  空間が、 $R^4$  の中でどんな位置にあるかを調べることを目的とする。

$\phi$  を  $L(p, q)_0 \equiv V \cup h^2(p, q)$  から  $R^4$  への同相写像とする。 $\phi(V)$  は  $R^4$  の中の solid torus であるが、これは  $R^4$  における ambient isotopy  $\{\eta_u\}_{u \in I}$  によって、超平面  $R^3[0]$  の中の平凡な solid torus  $V_0 = \eta_1(\phi(V))$  に移すことができる。

ここで、 $R^4$  を  $R^3 \times [-\infty, \infty]$  と考え、 $R^3 \times (t)$  を  $R^3[t]$  で表すことにする。

$m_0$  を  $\partial V_0$  の meridian,  $l_0$  を  $\partial V_0$  の preferred longitude とする。つまり、 $m_0$  は  $V_0$  の中で円板の境界となり、 $l_0$  は  $R^3[0] - \text{Int } V_0$  で円板の境界となつていふとする。

このとき、 $\eta_1 \phi(m) = m_0$ ,  $\eta_1 \phi(l) = l_0 + \alpha m_0$  ( $\alpha$ : 整数) が一般に成り立つ。

このとき、2-handle  $\eta_1 \phi h^2(p, q)$  の  $V_0$  への attaching 1-sphere を  $k_0$  とすると、 $k_0$  は  $\partial V_0$  上の  $(p, q + \alpha p)$  型結び目となる。

すなわち、 $\eta_1 \phi L(p, q)_0$  は、 $m_0, l_0$  に関する Heegaard 分解  $V_0 \cup h^2(p, q + \alpha p)$  を持つことがわかる。

$h^2(p, q + \alpha p)$  を  $D^2 \times [-1, 1]$  と考え、attaching 1-sphere  $k_0$  は  $D^2 \times 0$  の境界で、 $D^2 \times 0$  は  $R^4 - \text{Int } V_0$  に proper に埋藏

し 2 いる円板となつて 2 いる。

$\eta\phi L(p, q)_0 \equiv V_0 \cup h^2(p, q + \alpha p)$  が  $R^4$  の中でどんな位置にあるかを調べるためには,  $z$ -handle  $h^2(p, q + \alpha p)$  が, すなわち,  $D^2 \times 0$  が  $R^4$  の中でどんな位置にあるかを調べればよいことがわかる。

定理 1. 穴あきレンズ空間  $L(p, q)_0$  が  $R^4$  に埋藏されているとすると, 埋藏写像  $\phi$  は次の条件をみたすようにすることができる。

- (1)  $\phi L(p, q)_0$  は Heegaard 分解  $V_0 \cup h^2(p, q + \alpha p)$  を持つ。  
 $V_0$  は  $R^3[0]$  の平凡な solid torus で,  $z$ -handle  $h^2(p, q + \alpha p)$  の attaching 1-sphere  $k_0$  は  $\partial V_0$  上の  $p l_0 + (q + \alpha p) m_0$  にホモトピーな単純閉曲線である。

ここで,  $l_0, m_0$  は  $\partial V_0$  上の, それぞれ preferred longitude, meridian である。

- (2)  $z$ -handle  $h^2(p, q + \alpha p)$  を  $D^2 \times [-1, 1]$  とすると,  
 $k_0 = \partial D^2 \times 0$  で,  $D^2 \times 0$  は  $R^4 - \text{Int} V$  の中の locally flat な円板で, 次の条件をみたして 2 いる。

- maximal bands  $\subset R^3[2]$
- minimal bands  $\subset R^3[-1] \cup R^3[1]$
- saddle bands  $\subset R^3 \times (1, 2)$
- $(D^2 \times 0) \cap R^3[0] = k_0 \cup O_1 \cup \dots \cup O_\mu$

$\sigma = \bar{z}$ ,  $O_i (i=1, 2, \dots, \mu)$  は meridian  $m_0$  を  $V_0$  の外へ押し出した単純閉曲線  $\bar{z}$ ,  $O_1 \cup \dots \cup O_\mu$  は平凡なからみ目になる。図(1)

$$(3) (D^2 \times [-1, 1]) \cap R^3[t] = ((D^2 \times 0) \cap R^3[t]) \times [-1, 1], (-\infty < t < \infty)$$

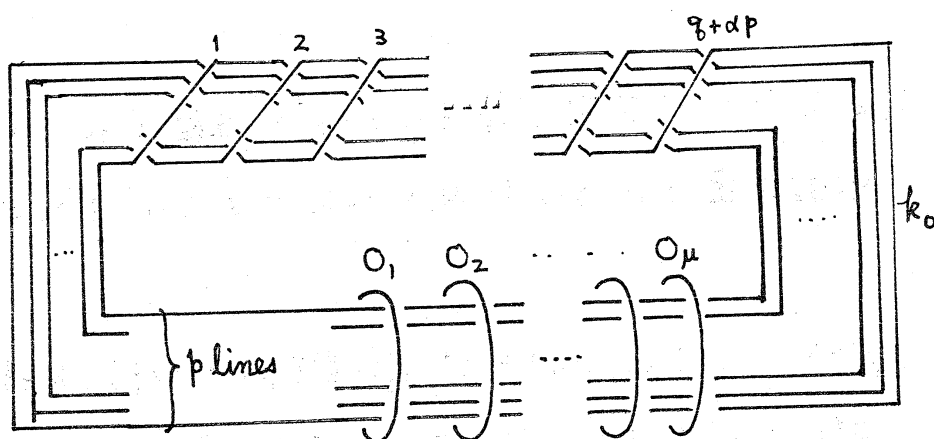


図 1 からみ目  $l(p, g+dp, \mu)$

定理 1 の証明は省略する。

$R^4$  の中に埋藏されている穴あきレンズ空間  $L(p, g+dp)_0$  が定理 1 の条件を満たしているとき,  $L(p, g+dp)_0 \equiv V_0 \cup h^2(p, g+dp)$  は  $R^4$  中の標準的位置にある, という=と可する。また, 定理 1 に出てくるからみ目  $k_0 \cup O_1 \cup \dots \cup O_\mu$  を  $l(p, g+dp; \mu)$  で表し,  $L(p, g+dp)_0$  のからみ目, という=と可する。

$l(p, g+dp; \mu)$  は  $R^3 \times [0, \infty)$  で locally flat な穴あき円板  $(D^2 \times 0) \cap R^3 \times [0, \infty)$  の境界となっている。つまり, a slice link in the weak sense [2] になっている。

また,  $L(p, q)_0$  は  $R^3$  での標準的位置にある穴あるレンズ空間  
 であり, Heegaard 分解  $V_0 \cup h^2(p, q)$  を持つ,  $h^2(p, q)$  は  $D^2 \times [-1, 1]$   
~~の境界~~,  $L(p, q)_0$  のからみ目  $l(p, q; \mu) = k_0 \cup O_1 \cup \dots \cup O_\mu$   
 $= \partial((D^2 \times 0) \cap R^3 \times [0, \infty))$  とする。

$$l^+(p, q; \mu) = k_0^+ \cup O_1^+ \cup \dots \cup O_\mu^+ = \partial((D^2 \times 1) \cap R^3 \times [0, \infty))$$

$$l^-(p, q; \mu) = k_0^- \cup O_1^- \cup \dots \cup O_\mu^- = \partial((D^2 \times -1) \cap R^3 \times [0, \infty))$$

とすると, これらは  $R^3 \times [0, \infty)$  内のからみ目であり,

$$\text{link}(l^+(p, q; \mu), l^-(p, q; \mu)) = 0$$

が成立している。また,  $O^+ = O_1^+ \cup \dots \cup O_\mu^+$ ,  $O^- = O_1^- \cup \dots \cup O_\mu^-$  は  
 それぞれ,  $R^3 \times (-\infty, 0]$  内で,  $\mu$  の円板の境界で, 互いに  
 交っていないから,

$$\text{link}(O^+, O^-) = 0$$

また,  $k_0^+$ ,  $k_0^-$  は, それぞれ  $(p, q)$  型の torus 結び目であり,  
 $O_i^+$ ,  $O_i^-$  は図 1 の  $O_i$  と同じ位置にあるから,

$$\text{link}(k_0^+, k_0^-) = \varepsilon p q \quad (|\varepsilon| = 1)$$

$$\text{link}(k_0^+, O_i^-) = \text{link}(O_i^+, k_0^-) = \varepsilon_i p \quad (|\varepsilon_i| = 1, i = 1, \dots, \mu)$$

が成り立つ。したがって

$$\begin{aligned} & \text{link}(l^+(p, q; \mu), l^-(p, q; \mu)) \\ &= \text{link}(k_0^+, k_0^-) + \sum_{i=1}^{\mu} (\text{link}(k_0^+, O_i^-) + \text{link}(O_i^+, k_0^-)) + \text{link}(O^+, O^-) \\ &= \varepsilon p q + 2p \sum_{i=1}^{\mu} \varepsilon_i = p \left( \varepsilon q + 2 \sum_{i=1}^{\mu} \varepsilon_i \right) = 0 \end{aligned}$$

となる。このことから次の定理が成立する。

定理 2  $L(p, q)_0 \equiv V_0 \cup h^2(p, q)$  が  $R^4$  で標準的位置にある穴あきレンズ空間で,  $L(p, q)_0$  のかきみ目が  $l(p, q; \mu) = k_0 \cup O_1 \cup \dots \cup O_\mu$  のとき, 次の (1), (2) が成立する。

(1)  $q$  は偶数である。

(2)  $q = 2m$  とすると  $\mu = |m| + 2d$ , ( $d \geq 0$ ) で

$$\text{link}(k_0, O_i) = -p \quad (i = 1, \dots, |m| + d)$$

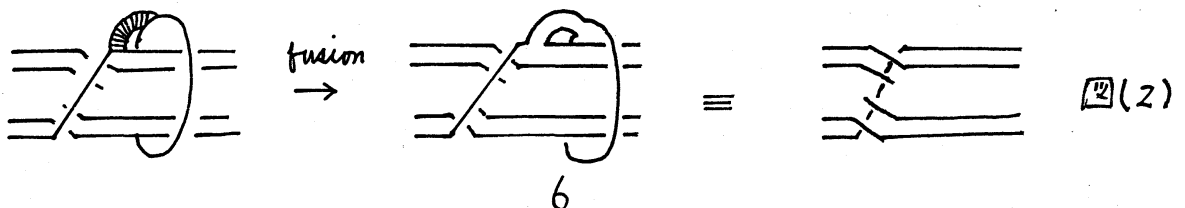
$$\text{link}(k_0, O_i) = p \quad (i = |m| + d + 1, \dots, \mu)$$

この定理から, 次の系を得る。

系 穴あきレンズ空間  $L(2n, q)_0$  は  $R^4$  に埋藏する  $\equiv$  とはできない。

今迄の考察から,  $L(p, q)_0$  が  $R^4$  に埋藏される  $\equiv$  とは, からみ目  $l(p, q; \mu)$  が a slice link in the weak sense となる  $\equiv$  と同値となることがわかる。

さて, 図 2 のような fusion により, 上を通る線と下を通る線にあることが出来る。という操作を考えると,  $l(p, q; \mu)$  が a slice link in the weak sense という  $\equiv$  と,  $l(p, q + 2p; \mu + p)$  がそうなる  $\equiv$  と同値であることが容易にわかる。



このことから、次の定理を得る。

定理3  $L(p, q)_0 \equiv V_0 \cup h^2(p, q)$  が  $R^4$  で標準的位置にあるならば、 $L(p, q \pm 2p)_0 \equiv V_0 \cup h^2(p, q \pm 2p)$  も標準的位置に実現することが可能である。

定理4,  $2n+1, 2m$  がたがいこたいに素な整数のとき、

(1)  $L(2n+1, 2m)_0 \equiv V_0 \cup h^2(2n+1, 2m)$  は  $R^4$  の標準的位置に実現することが出来る。

(2) からみ目  $l(2n+1, 2m; |m|+2d)$  が a slice link in the weak sense となる整数  $d \geq 0$  が存在する。

そこで、次の問題が出てくる。

問題 どんな整数  $d$  に対して  $l(2n+1, 2m; |m|+2d)$  が a slice link in the weak sense となるか？

この問題がわかると、穴あきレンズ空間の境界となる2次元絡み目のクラスがわかることになる。

しかし、一般的な解答は相当難しいようであるが、 $d=0$  のときにある程度その本質があるように思われる。

ここでは、 $d=0$  のとき、ある条件付きで解けることがわかることを示す。定規の証明は論文[10]を参照してもらいたい。ここで、例で考え方の大筋を示すことにする。

$l(2n+1, 2m; |m|)$  が a slice link in the weak sense ならば,  
 $l(2n+1, 2m+2\alpha(2n+1); |m|+|\alpha(2n+1)|)$  もまたそうなることから,

$$-|2n+1| < 2m < |2n+1|$$

としよと、また、torus 結の性質より

$$0 < 2m < |2n+1|$$

のときを考へれば十分である。よって、

$$2n+1 = 2am \pm r, \quad a > 0, \quad 0 < r < m, \quad r \text{ と } 2m \text{ は素}$$

となる  $a, m, r$  を考へるとき、次の定理が成り立つ。

定理 5.  $m' \equiv m \pmod{r}$  かつ  $r < m' < 2r$  とするとき、

$$m' - r \equiv \pm 1 \pmod{(2r - m')}$$

が成り立つならば、 $l(2am \pm r, 2m; m)$  は a slice link  
 in the weak sense である。

例.  $a=2, m=12, r=7$  のとき  $2n+1 = 2am+r$  の場合:  $l(55, 24; 12)$

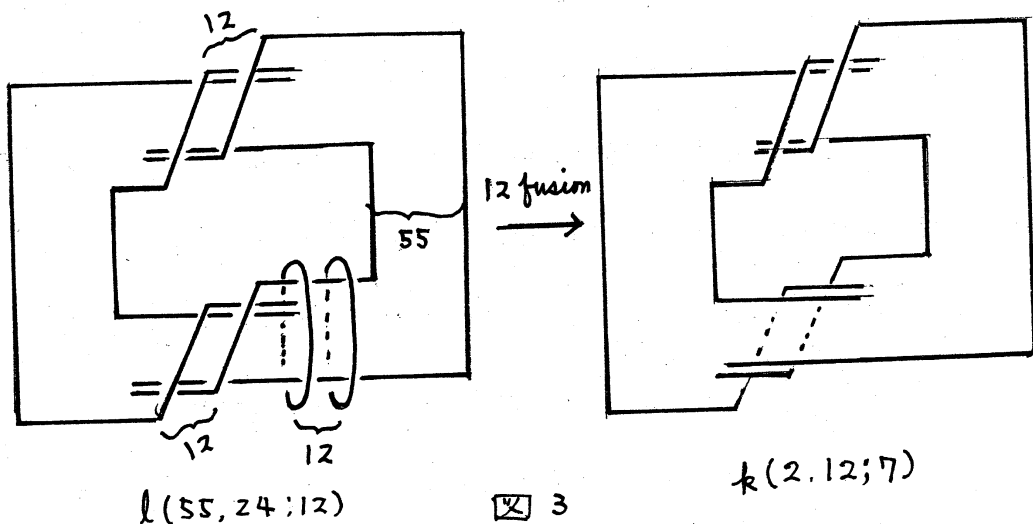
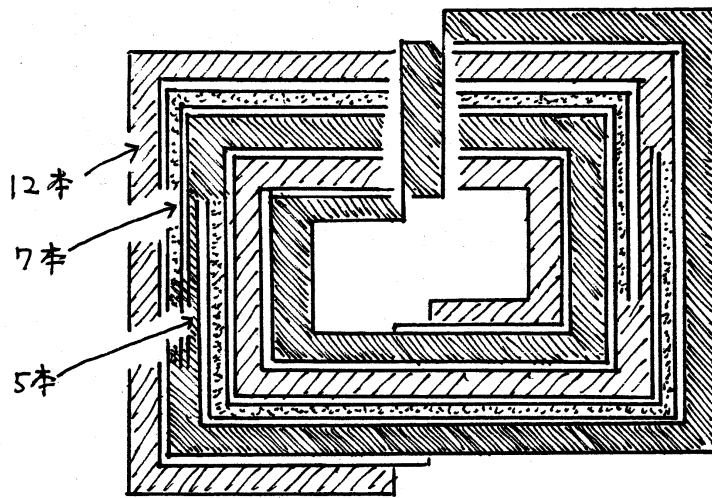


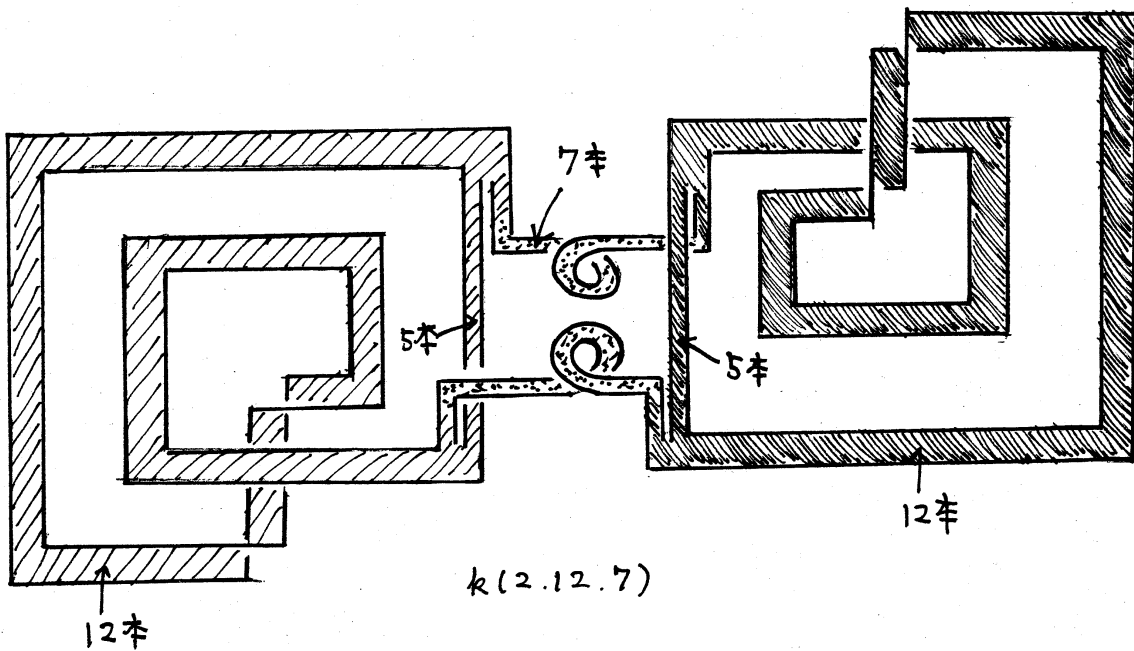
図 3



$l(55.24;12)$  に図2と同じ fusion を12回ほど = して図3の  
 右の結び目  $k(2,12,7)$  にする。  $k(2,12,7)$  を図4の上のよう  
 に上を通る線と下を通る線に分けて、図4の下のようにずら  
 し、ねじれを調節して図5のようにする。



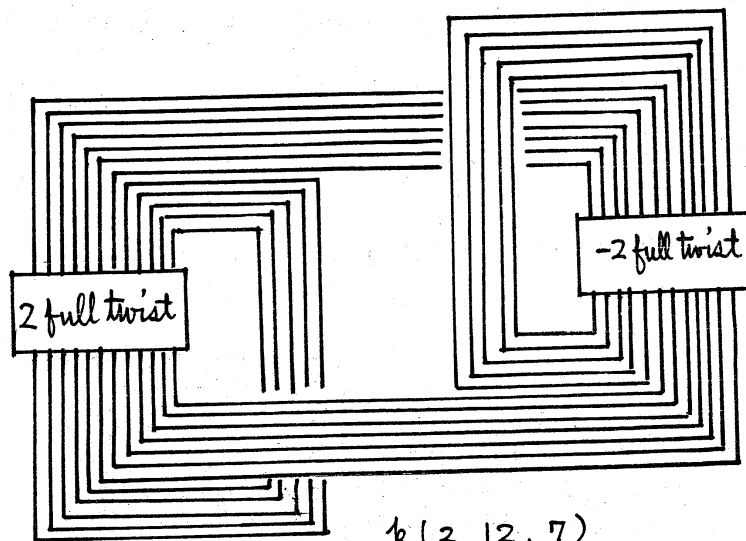
$k(2,12,7)$



$k(2,12,7)$

図 4

9



$k(2, 12, 7)$

図 5

図5の真中に縦に通る左右5本ずつの線を <sup>fission</sup> ~~fission~~ band でつなぎ、 ~~fission~~ fission をすることにより、左右の twist を解消するようにする。そこで、fission band のつなぎ方が問題となる。この場合は図6のようにつなぎ、fission する。

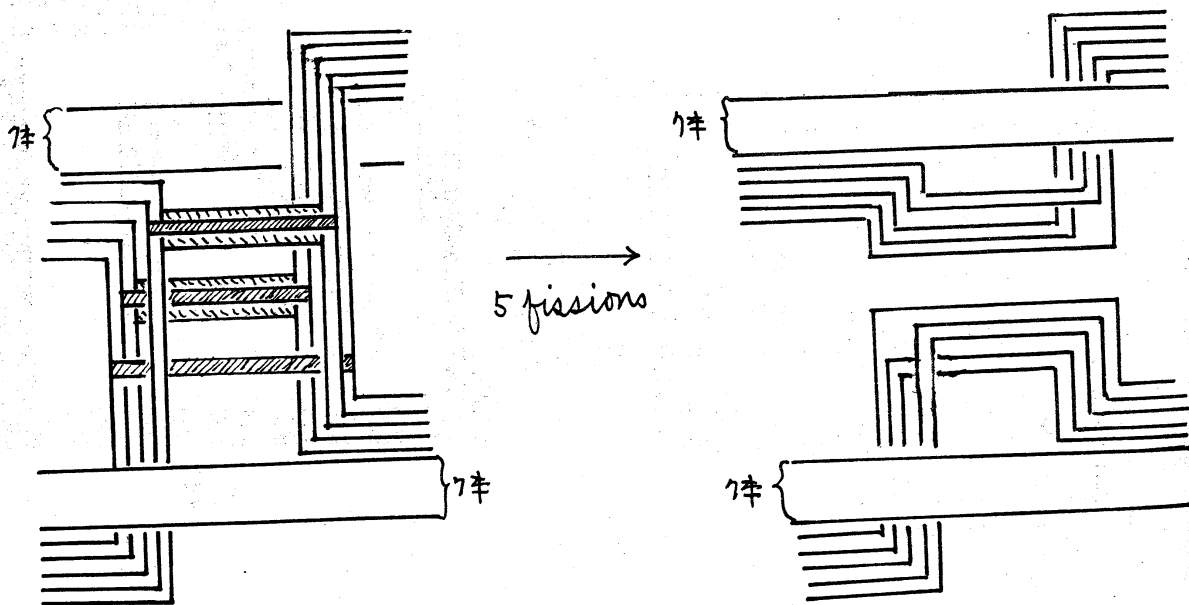


図 6

2 の 5 回の *fusion* で *components* が 6 の からみ目になるが、そのうち 4 つの *components* は容易に分離し、図 7 の下の からみ目が残る。

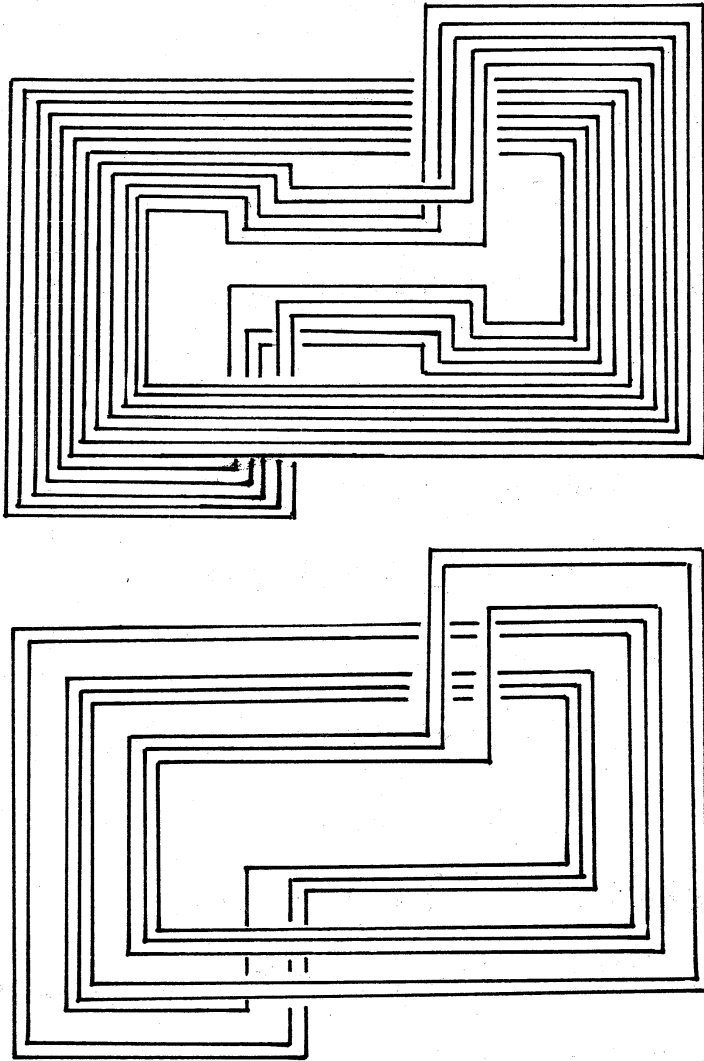
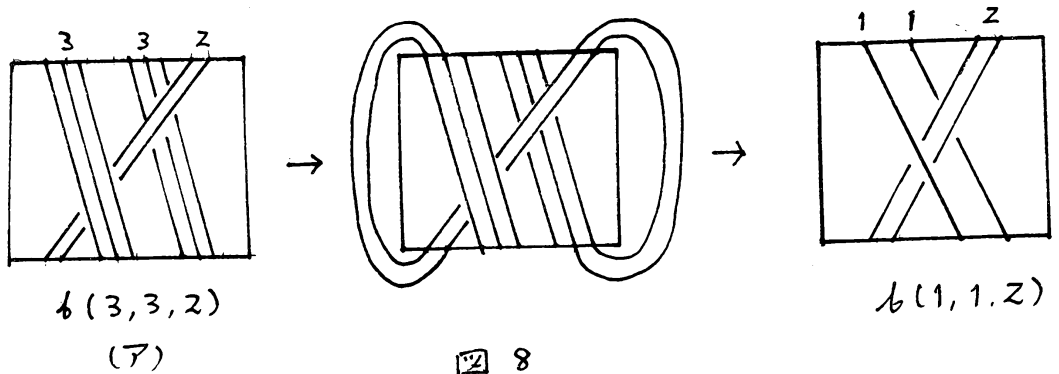


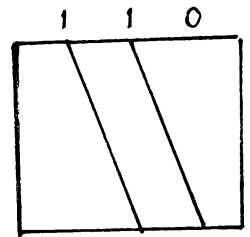
図 7

図 7 の下に残った からみ目が *components* が 2 の 平凡な からみ目になることがわかれば、 $k(2, 12, 7)$  が a slice knot になることがわかり、最初の  $l(55, 24; 12)$  が a slice link in the weak sense であることが示されたことになる。

図7の下のかさみ目は、一般には複雑になるが、これを braid になおしてみると、図8の(ア)となる。この braid を  $b(3,3,2)$  で表すことにする。 $b(3,3,2)$  は一部を上下つなぐ操作で  $b(1,1,2)$  に変形される。



$b(1,1,2)$  は最後は  $b(1,1,0)$  と右図のようになり、平凡なからみ目であることがわかる。



$k(2,12,7)$  は上の証明では ribbon knot になっていることもわかる。

一般的に困難な点は、最初の fusion をどのようにしたらいいか？、という点と、次に図6で示した fission band をどのようにつけたらいいか？という点がある。そのため、定規5のような条件がつけられた。

最初の fusion を同じようにした場合、fission band をどのようにつけてもうまくいかない例もあるので、問題の解決は、更に工夫が必要である。

定理の証明など省略したものが多いため、詳細は [10] を参照されたい。

### References

- [1] D. B. A. Epstein : Embedding punctured manifolds, Proc. Amer. Math. Soc., 16 (1965), 175~176.
- [2] R. H. Fox : Some problems in knot theory, Topology of 3-Manifolds and Related Topics (M. K. Fort, Jr. (ed)), Prentice Hall, N. J., (1962), 168~176
- [3] W. Hantzsche : Einlagerung von Mannigfaltigkeiten in Euklidische Räume, Math. Z., 43 (1938), 38~58.
- [4] F. Hosokawa and A. Kawauchi : Proposals for unknotted surfaces in four-spaces, Osaka J. Math., 16 (1979), 233-248.
- [5] A. Kawauchi, T. Shibuya and S. Suzuki : Descriptions on surfaces in four-space I, Normal forms, Math. Sem. Notes Kobe Univ. 10 (1982), 75~125.
- [6] H. Schubert : Knoten mit zwei Brücken, Math. Z., 65 (1950), 133~170.
- [7] H. Seifert und W. Threlfall : Lehrbuch der Topologie, Teubner, Leipzig - Berlin, (1934)
- [8] S. Suzuki : Knotting problems of 2-spheres in 4-sphere, Math. Sem. Notes Kobe Univ., 4 (1976), 241-371

- [9] E. C. Zeeman : On twisting spun knot, Trans. Amer. Math. Soc., 115 (1965), 471~495.
- [10] F. Hosokawa and S. Suzuki : On Punctured Lens Spaces in 4-space, Math. Sem. Notes Kobe Univ. 10 (1982) 323-344.